



Министерство образования Республики Беларусь

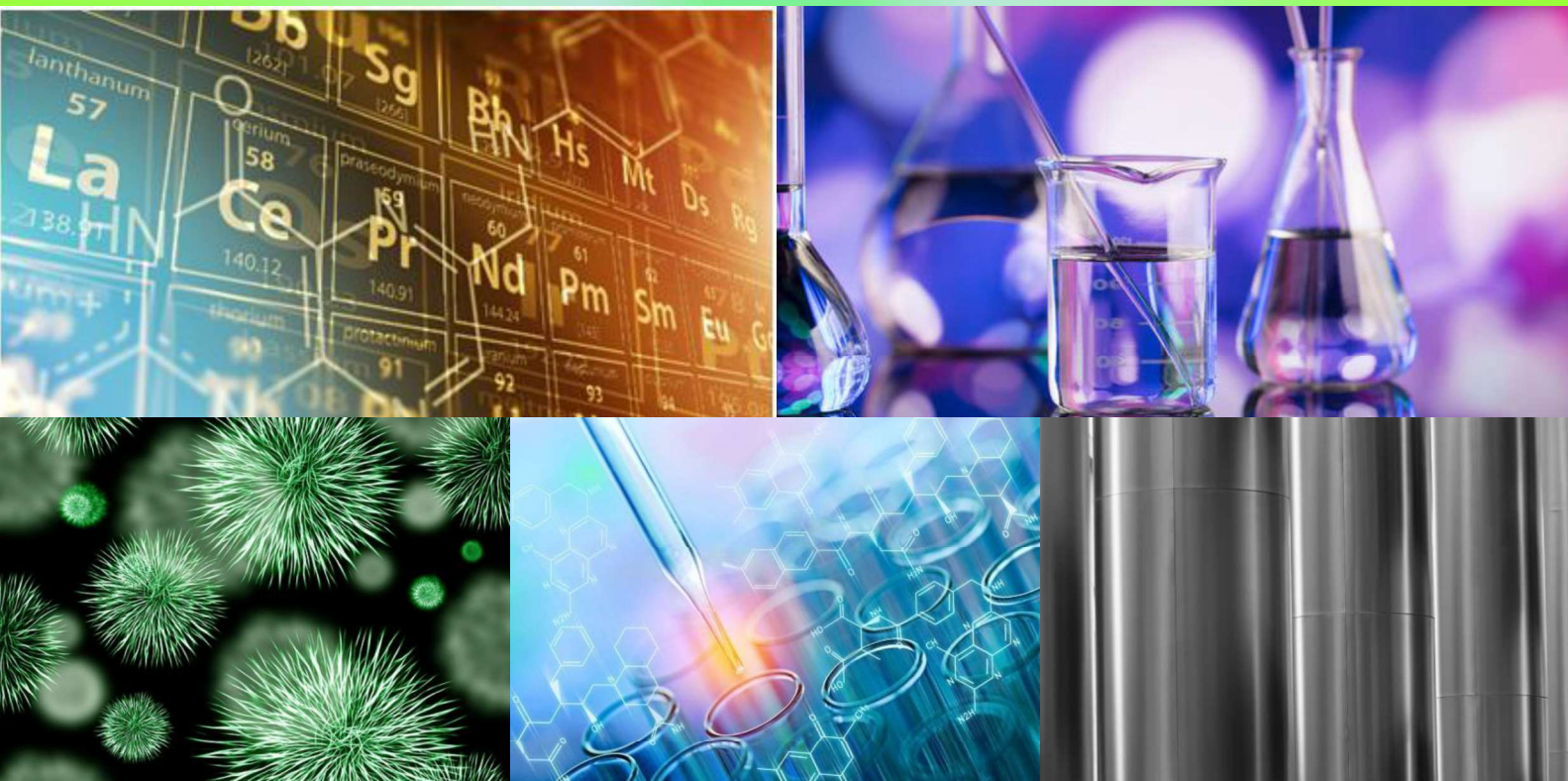
Учреждение образования «БЕЛОРУССКИЙ
ГОСУДАРСТВЕННЫЙ ТЕХНОЛОГИЧЕСКИЙ
УНИВЕРСИТЕТ»



Международная научно-техническая конференция
молодых ученых

«Инновационные материалы и технологии – 2022»

г. Минск, Республика Беларусь
23-24 марта 2022 г.



**International Scientific and Technical Conference
of Young Scientists
“Innovation Materials and Technologies”**

March 23-24, 2022
Minsk, Republic of Belarus

Таиров С.С., Усманов Х.Л., Кадырова З.Р.	
ВЛИЯНИЕ ЖЕЛЕЗОСОДЕРЖАЩЕГО ОТХОДА ПЫЛИ ГАЗООЧИСТКИ МЕТАЛЛУРГИЧЕСКИХ ПРОИЗВОДСТВ НА СВОЙСТВА КЕРАМИЧЕСКИХ МАСС ДЛЯ ОБЛИЦОВОЧНЫХ ПЛИТ	299
Амонов М.М.	
КОМПЛЕКСЫ Ni(II) И Cu(II) С АРОИЛГИДРАЗОНАМИ МЕТИЛОВОГО ЭФИРА 5,5-ДИМЕТИЛ-2,4-ДИОКСОГЕКСАНОВОЙ КИСЛОТЫ	302
Умаров Б.Б., Турсунов М.А., Аvezov K.G., Севинчова Д.Н.	
ВЗАИМОДЕЙСТВИЕ АРОИЛУКСУСНОГО АЛЬДЕГИДА С ГИДРАЗИДАМИ АРОМАТИЧЕСКИХ КИСЛОТ	305
Турсунов М.А., Амонов М.М., Умаров Б.Б., Абдиев Б.Ш., Ганиев Б.Ш.	
РЕНТГЕНОСТРУКТУРНЫЙ И РЕНТГЕНОФАЗОВЫЙ АНАЛИЗ КОМПЛЕКСА НИКЕЛЯ(II) ПАРА-МЕТИЛБЕНЗОИЛГИДРАЗОНА БЕНЗОИЛУКСУСНОГО АЛЬДЕГИДА	308
Турсунов М.А., Амонов М.М., Умаров Б.Б., Абдиев Б.Ш., Ганиев Б.Ш.	
ИЗУЧЕНИЕ ТАУТОМЕРИИ АРОИЛГИДРАЗОНОВ БЕНЗОИЛУКСУСНОГО АЛЬДЕГИДА МЕТОДАМИ ИК И ЯМР СПЕКТРОСКОПИИ	313
Сайфуллаев М.С., Мардонов У.М., Ганиев Б.Ш., Музафаров Ф.И.	
ИЗУЧЕНИЕ ЭЛЕКТРОННО-СТРУКТУРНЫХ, РЕАКЦИОННЫХ И КООРДИНАЦИОННЫХ СВОЙСТВ ГЛЮТАМИНА Сущик З.В., Печенова Г.Г, Черник А.А.	319
ЭЛЕКТРОХИМИЧЕСКОЕ ИЗВЛЕЧЕНИЕ ЦИНКА И МАРГАНЦА ИХ АКТИВНОЙ МАССЫ ОТРАБОТАННЫХ МАРГАНЦЕВО-ЦИНКОВЫХ ИСТОЧНИКОВ ТОКА	324
Черник И.А., Курило И.И., Черник А.А.	
ЭЛЕКТРОХИМИЧЕСКОЕ ФОРМИРОВАНИЯ ПОКРЫТИЙ СПЛАВОМ НИКЕЛЬ-ЖЕЛЕЗО В УСЛОВИЯХ ИМПУЛЬСНОГО ЭЛЕКТРОЛИЗА	326
Липпинг Я.А., Касач А.А., Пянко А.В., Черник А.А.	
ЭЛЕКТРОХИМИЧЕСКОЕ ОСАЖДЕНИЕ СПЛАВОВ Sn-Ni, МОДИФИЦИРОВАННЫХ НАНОЧАСТИЦАМИ TiO₂ и WO₃	328
Никитина Е.В., Карфидов Э.А., Селиверстов К.Е., Зайков Ю.П.	
ИОННАЯ СИЛА РАСПЛАВОВ ФТОРИДОВ ЩЕЛОЧНЫХ МЕТАЛЛОВ С ДОБАВЛЕНИЕМ 1 И 5% NdF₃, CeF₃, UF₃, UF₄, PuF₃	330
Руденко А.В., Катаев А.А., Неупокоева М.М., Ткачева О.Ю.	
ПОЛУЧЕНИЕ СПЛАВОВ АЛЮМИНИЯ ЭЛЕКТРОЛИЗОМ КРИОЛИТОВЫХ РАСПЛАВОВ В ЯЧЕЙКАХ С МАЛОРАСХОДУЕМЫМИ АНОДАМИ	331
Конаков А. О., Золотухина Е. В.	
ЭЛЕКТРОКАТАЛИТИЧЕСКАЯ АКТИВНОСТЬ ГИБРИДНОГО МАТЕРИАЛА CuI-CuO-PPu В ОТНОШЕНИИ ФОРМАЛЬДЕГИДА	333
Холодкова А.Г., Серов А.Н., Ваграмян Т.А.	
ЭЛЕКТРОЛИТ ДЛЯ ПОЛУЧЕНИЯ ПОКРЫТИЙ ЖЕЛТОЙ ЛАТУНЬЮ	336

Турсунов М.А., Амонов М.М., Умаров Б.Б., Абдиев Б.Ш., Ганиев Б.Ш.
Бухарский государственный университет

РЕНТГЕНОСТРУКТУРНЫЙ И РЕНТГЕНОФАЗОВЫЙ АНАЛИЗ КОМПЛЕКСА НИКЕЛЯ(II) *пара*- МЕТИЛБЕНЗОИЛГИДРАЗОНА БЕНЗОИЛУКСУСНОГО АЛЬДЕГИДА

Производные ароилгидразонов с 1,3-дикарбонильными соединениями типа кетоальдегидов представляют большой интерес как источник потенциально прототропных кольчачно-цепочечных равновесных форм [1-3, 6]. Это обусловило выбор ароилгидразонов в качестве нуклеофилов в ранее публикуемом работе [4]. Нами было синтезировано несколько комплексы никеля (II) и цинка (II) с производными бензоилуксусного альдегида [4], в данной работе рассмотрим анализа рентгеноструктурного и рентгенофазового один из них – комплекса никеля (II) *пара*-метилбензоилгидразона бензоилуксусного альдегида. Основные кристаллографические данные и результаты уточнения структуры NiL·Py приведены в табл. 1.

Дважды депротонированный остаток лиганда H₂L координирован атомом Ni(II) через два атома кислорода и атом азота гидразонной части молекулы. Четвертое место в координационном квадрате занимает донорная молекула Py (рис. 1а,б).

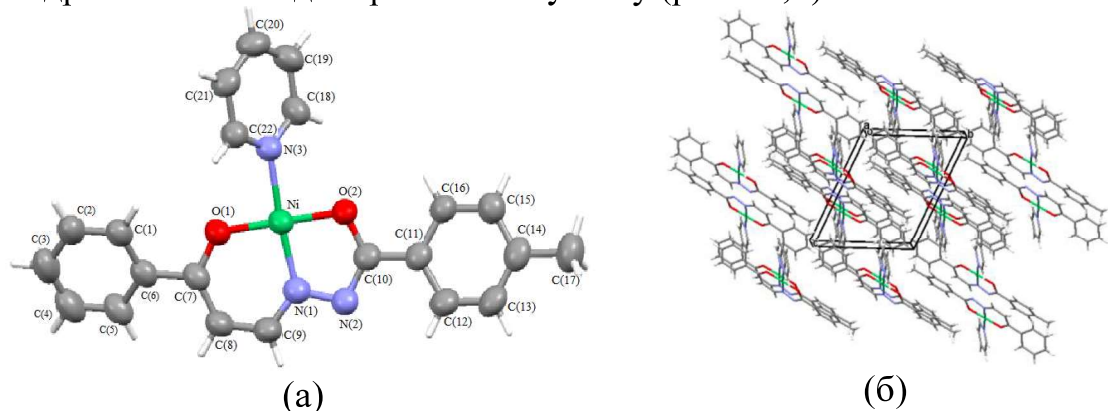


Рис. 1. Кристаллическая структура комплексного соединения NiL·Py
(а) и молекулярная упаковка ячейки (б).

Длины связей Ni–O(1) 1.826(2), Ni–O(2) 1.835(2), Ni–N(1) 1.823(3), Ni–N(3) 1.926(3) Å в кристалле комплекса близки к найденным в координационных полиэдрах в изоструктурных кристаллах Ni(II) с бензоилгидразонами этилового эфира 5,5-диметил-2,4-диоксогексановой кислоты [8-10] и метилового эфира 5,5-

диметил-2,4-диоксогексановой кислоты [5,7]. Большая разница между валентными углами O(1)NiN(1) ($95.76(12)^\circ$) и N(1)NiO(2) ($83.76(13)^\circ$) объясняется, на наш взгляд, наличием и размерами сопряженных пяти- и шестичленного металлоциклов вокруг иона-комплексообразователя, что хорошо согласуется с данными в работах [2, 4, 6, 7-10]. Атомы квадрата NiO₂N₂ NiO(1)O(2)N(1)N(3) кристалла лежат в одной плоскости с точностью $\pm 0,02$ Å. Копланарные металлоциклы – пятичленный (NiO(1)N(1)N(2)C(4)) и шестичленный (NiO(2)N(1)C(1)C(2)C(3)) – сопряжены и плоские 0.003–0.0220 Å (табл. 2).

Таблица 1.

Основные кристаллографические данные и параметры уточнения структуры NiL·Py

Параметр	Значение
<i>M</i>	416.11
Температура, К	293
Сингония	Триclinная
Пр. гр.	<i>P</i> 
<i>a</i> , Å	9.3151(9)
<i>b</i> , Å	10.5675(11)
<i>c</i> , Å	11.9266(7)
α , град	112.030(7)
β , град	92.227(6)
γ , град	115.341(10)
<i>V</i> , Å ³	955.33(17)
<i>Z</i>	2
ρ (выч.), г/см ³	1.446
μ , мМ ⁻¹	1.649
Размеры кристалла, мм	0.5 x 0.4 x 0.3
Область сканирования по θ , град	4.1–75.9
Область индексов <i>h</i> , <i>k</i> , <i>l</i>	$-11 \leq h \leq 11, -13 \leq k \leq 13,$ $-14 \leq l \leq 8$
Собрано отражений	6440
Независимых отражений (<i>R</i> _{int})	3836 (0.036)
Отражений с <i>I</i> > 2 σ (<i>I</i>)	2607
Число уточняемых параметров	255
GOOF (<i>F</i> ²)	0.975
<i>R</i> [<i>F</i> ² >2 σ (<i>F</i> ²)], <i>wR</i> (<i>F</i> ²)	0.045, 0.106
$\Delta\rho_{\max}, \Delta\rho_{\min}$ (e Å ⁻³)	0.33, -0.24

Упаковка структурных единиц в кристалле молекулы NiL·Py показана на рис. 1б. Один из атомов водорода координированной молекулы пиридина участвует в водородных связях: внутримолекулярной (ВМВС) C(18)–H(18)…O(2) 2.937(4) Å и межмолекулярной (ММВС) C(18)–H(18)…N(2) 3.437(4) Å; последняя

приводит к образованию центросимметричного димера. Молекулы расположены по центрированному мотиву таким образом, что пяти- и шестичленные металлоциклы образуют друг с другом псевдостопки. В молекуле имеется еще одна ВМВС C(18)–H(18)…O(1) (C…O 2.861(3) Å), угол CHO 104.3°, C(22)–H(22) 0.93, H(22)…O(1) 2.48 Å.

Таблица 2. Отклонение атомов от “средних” плоскостей в структуре NiL²·Py

Атом и его отклонение, Å									
C(1) -0.0076	C(2) 0.0048	C(3) 0.0026	C(4) -0.0070	C(5) 0.0041	C(6) 0.0032	C(7)* 0.0092	O(1)* -0.5083	C(8)* 0.5332	C(9)* 0.5633
C(11) 0.0037	C(12) -0.0018	C(13) -0.0034	C(14) 0.0067	C(15) -0.0049	C(16) -0.0003	C(10)* 0.0461	C(17)* 0.0322	N(2)* -0.1201	O(2)* 0.2799
N(3) 0.0032	C(18) 0.0042	C(19) -0.0077	C(20) 0.0040	C(21) 0.0032	C(22) -0.0070				
Ni(1) -0.0134	O(1) -0.0137	O(2) -0.0155	N(1) 0.0220	N(3) 0.0206					

*Атомы, не включенные в расчет данной плоскости.

На основе рентгенофазового анализа комплекса никеля определены межплоскостные расстояния, относительные интенсивности дифракционных линий (рис.2, табл. 3).

Таблица 3. Рентгенографическое параметры комплекса NiL²·Py

№	Положение спектра	Интенсивность	Полная ширина на полувысоте	Асимметричность	№	Положение спектра	Интенсивность	Полная ширина на полувысоте	Асимметричность
1	8.2200	672.4762	0.1026	0.3117	1 2	20.620 0	858.0523	0.1860	-1.2296
2	10.0000	6680.3086	0.1028	-0.2339	1 3	21.060 0	601.3267	0.1223	0.3023
3	10.8000	10000.0000	0.1087	0.1843	1 4	21.300 0	1489.7316	0.1141	0.0667
4	12.3800	5086.9565	0.1019	-0.1261	1 5	24.000 0	3848.8865	0.1042	-0.1438
5	14.6800	669.0669	0.1026	0.1134	1 6	24.460 0	8530.3789	0.1034	0.2455
6	15.7400	1253.2025	0.1036	-0.3916	1 7	24.840 0	763.9905	0.1648	0.1121
7	16.7800	671.3452	0.1087	0.2463	1 8	25.560 0	1309.8121	0.1101	-0.4075
8	17.0800	669.3890	0.1180	-0.2829	1 9	28.180 0	1111.8477	0.1028	0.0752
9	17.4600	3223.5708	0.1032	-0.2073	2 0	30.660 0	1569.2764	0.1410	0.4250
10	18.0800	3396.8069	0.1067	0.3333	2 1	31.160 0	1069.2939	0.1066	-0.0605
11	18.5800	2346.0513	0.1035	-0.0967	2 2	33.100 0	716.4893	0.1065	0.2063

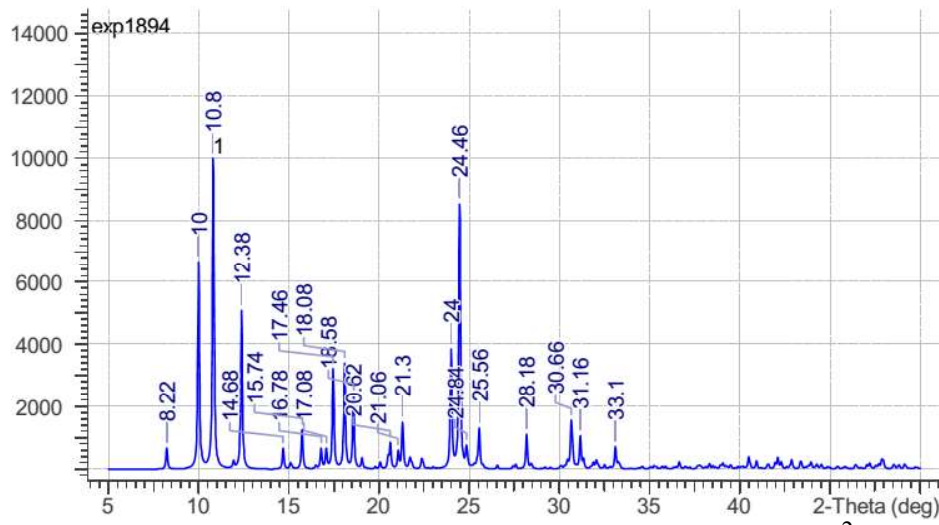


Рис. 2. Дифрактограмма комплекса $\text{NiL}^2 \cdot \text{Py}$

СПИСОК ЛИТЕРАТУРЫ

1. Пакальнис В.А., Зерова И.В., Якимович С.И., Алексеев В.В. Взаимодействие эфиров ацилпироноградных кислот с гидразидами // Химия гетероцикл. соед. 2013. № 3. С. 440-449.
2. Турсунов М. А., Умаров Б. Б. Таутомерия в ряду ацилгидразонов этилового эфира 5, 5-диметил-2, 4-диоксогексановых кислот //Universum: химия и биология. – 2018. – №. 3. – С. 41-44.
3. Умаров Б.Б., Тошев М.Т., Сайдов С.О. и др. Синтез и кристаллическая структура комплекса никеля(II) на основе продукта конденсации метилового эфира 5,5-диметил-2,4-диоксогексановой кислоты с бензоилгидразидом // Коорд. химия.- М.: 1992.- Т. 18.- № 9.- С. 980-984.
4. Турсунов М. А., Авезов К. Г., Умаров Б. Б. Комплексы никеля (II) и цинка (II) с производными бензоилуксусного альдегида //Координационная химия. – 2019. – Т. 45. – №. 7. – С. 399-403.
5. Турсунов М. А., Кодирова З. К., Эргашов М. Я. Комплексы меди (II) с ароилгидразонами метилового эфира 5, 5-диметил-2, 4-диоксогексановой кислоты //Universum: химия и биология. – 2019. – №. 11-2. – С. 28-31.
6. Umarov B. B., Tursunov M. A., Minin V. V. Kompleksy s proizvodnymi ketoal'degidov i ketoefirov. – 2016.
7. Турсунов М. А. Комплексы меди (II) с ацил-и ароилгидразонами метилового эфира 5, 5-диметил-2, 4-диоксогексановой кислоты //Актуальные научные исследования в современном мире. – 2017. – №. 8-3. – С. 75-80.

8. Турсунов М. А., Умаров Б. Б. Таутомерия в ряду ацилгидразонов этилового эфира 5, 5-диметил-2, 4-диоксогексановых кислот //Universum: химия и биология. – 2018. – №. 3. – С. 41-44.
9. Турсунов, М. А., Авезов, К. Г., Умаров, Б. Б., & Парпиев, Н. А. (2017). Спектры ПМР и кристаллическая структура комплекса никеля (II) с ароилгидразонами этилового эфира 5, 5-диметил-2, 4-диоксогексановой кислоты. *Координационная химия*, 43(2), 99-102.
10. Абдурахмонов, С. Ф., Турсунов, М. А., Умаров, Б. Б., Эргашов, М. Я., & Авезов, К. Г. (2021). Исследование комплексов никеля (II) с ароилгидразонами этилового эфира 5, 5-диметил-2, 4-диоксогексановой кислоты. *Вестник Московского университета. Серия 2: Химия*, 62(1), 59-67.
11. Якимович С.И., Николаев В.Н., Куценко Э.Ю. Таутомерия в ряду ацилгидразонов бензоилацетона и бензоилуксусного альдегида // Журн. орг. химии.- 1983.- Т. 19.- № 11.- С. 2333-2339.